

## РАСЧЕТ МОЩНОСТИ ПОТЕРЬ И ТЕМПЕРАТУРЫ СТРУКТУРЫ ТРАНЗИСТОРНО-ДИОДНЫХ МОДУЛЕЙ ПРИ КОМПЬЮТЕРНОМ МОДЕЛИРОВАНИИ ПРЕОБРАЗОВАТЕЛЕЙ

*Розглядається метод визначення сумарної миттєвої потужності статичних і динамічних втрат і температури переходу транзисторно-діодних модулів при дискретному моделюванні напівпровідникових перетворювачів за допомогою пакету MatLab (Simulink) в режимах, коли інтервал дискретизації в моделях близький до часів ввімкнення і вимкнення транзистора.*

*Рассматривается метод определения суммарной мгновенной мощности статических и динамических потерь и температуры перехода транзисторно-диодных модулей при дискретном моделировании полупроводниковых преобразователей с помощью пакета MatLab (Simulink) в режимах, когда интервал дискретизации в моделях близок к временам включения и выключения транзистора.*

### ВВЕДЕНИЕ

Компьютерное моделирование электромагнитных процессов в полупроводниковых преобразователях энергии является эффективным инструментом ускорения разработок и исследования характеристик преобразователей и систем электроснабжения на их основе. Широкое распространение при моделировании получил язык программирования *MatLab* и пакеты его расширения *Simulink* и *Control system Toolbox* [1-3]. *MatLab*-модели преобразователей различных типов, как правило, могут быть выполнены с высоким уровнем детализации силовых схем и систем управления, они позволяют исследовать переходные и установившиеся процессы с приемлемыми затратами времени на моделирование.

Важнейшими параметрами, контролируемыми при моделировании преобразовательных систем, являются потери энергии в элементах силовой схемы и температура перехода  $T_j$  силовых полупроводниковых приборов (СПП), определяющие, соответственно, коэффициент полезного действия (КПД) системы и тепловой режим работы вентилей. Стандартные модели силовых полупроводниковых приборов, имеющиеся в библиотеке *MatLab/Simulink*, вполне приемлемые при моделировании преобразователей с сетевой коммутацией, управляемых выпрямителей, непосредственных преобразователей частоты, тиристорных регуляторов напряжения и других, не позволяют учитывать динамические потери при включении и выключении силовых полупроводниковых приборов, что не дает возможности использовать эти модели для моделирования преобразователей с высокочастотной широтно-импульсной модуляцией (ШИМ), если одной из задач моделирования является расчет КПД системы и температуры структуры силового полупроводникового прибора.

Ведущие производители полупроводниковых приборов (*Semikron*, *Infineon*, *Mitsubishi*) предоставляют специализированные программы автоматизированного выбора силовых приборов и теплового расчета (например, *Semisel* фирмы *Semikron*) [4]. Применение подобных программ позволяет существенно ускорить процесс расчета преобразователя и выбора типов применяемых приборов и охладителей.

Среди особенностей *Semisel*, следует отметить, что данная программа, в отличие от *MatLab*, не явля-

ется имитационной (не основана на решении систем дифференциальных уравнений); имеет ограниченный (хотя и довольно обширный) набор стандартных доступных для анализа силовых схем со стандартными алгоритмами управления силовыми ключами. Для оценки мощности потерь и температуры перехода силовых ключей в *Semisel* по стандартным выражениям для выбранного типа преобразователя производится вычисление средних и действующих токов сивого ключа, а затем, с использованием стандартной модели включенного ключа как двухполюсника, – оценка мощности статических потерь. Динамические потери определяются на основании известной связи между энергией коммутационных потерь конкретного типа прибора и параметрами коммутационного процесса – коммутируемых токов и напряжений ключа. Параметры силовых приборов, определяющие величины соответствующих потерь (пороговые напряжения включенных ключей и их дифференциальные сопротивления, коэффициенты, связывающие величины энергии коммутации с величинами коммутационных токов и напряжений и т.п.) заложены в "теле" программы и автоматически определены при выборе доступного типа прибора. Поскольку *Semisel* не является имитационной программой, пользователь лишен возможности наблюдать осциллограммы токов и напряжений силовых ключей. "Привязка" к стандартным алгоритмам, конкретным типам приборов снижает функциональность программы.

Для разработчиков устройств преобразовательной техники представляет также интерес пакет *PSpice* [5], который полезен, прежде всего, тем, что позволяет, в отличие от *MatLab*, получать достоверные осциллограммы переходных процессов переключения силовых ключей с учетом реальных физических, в том числе нелинейных и паразитных, параметров приборов и давать адекватную оценку статических и динамических потерь в силовых ключах преобразователя. Однако *Pspice*-модели имеют высокую степень детализации характеристик основных силовых компонентов преобразовательной техники – силовых электронных ключей (диодов, транзисторов, тиристоров). Например, полная модель МОП-ПТ может включать в себя более 50 различных физических параметров, что является излишним при решении большинства задач преобразова-

тельной техники [5]. Кроме того, новые полупроводниковые ключи с улучшенными характеристиками выпускаются постоянно, а создание модели – долгий и кропотливый процесс, требующих к тому же немалых финансовых затрат; поэтому модели новейших транзисторов появляются спустя довольно продолжительное время после их выпуска [6].

В специальной литературе, посвященной *PSpice* моделированию *IGBT*, указывается на необходимость, для получения адекватных результатов моделирования, предварительной идентификации и уточнения (корректировки параметров) модели путем сравнения результатов моделирования с результатами физического моделирования [7], что, как правило, не доступно разработчику, не имеющему в своем распоряжении соответствующей лабораторной базы и современных средств измерения. По мнению авторов, разработчику устройств преобразовательной техники полезно было бы иметь в распоряжении *MatLab*-модель преобразователя, позволяющую оценить статические потери в ключах и дополненную блоками оценки динамических потерь в силовых ключах преобразователя, работа которых основана на доступной из справочных данных для определенного СПП связи динамических потерь с параметрами коммутационного процесса (подобно *Semicel*), и при этом, в отличие от

*PSpice*, требующую минимального набора параметров, необходимых для получения этой оценки. В настоящей работе предлагается *MatLab*-модель преобразователя, позволяющая учитывать динамические потери управляемых СПП (транзисторов, запираемых тиристоров), на основании известных для конкретного типа СПП зависимостей энергии включения  $E_{on}$  и энергии выключения  $E_{off}$  от текущих значений коммутируемых напряжений и токов ключей.

### АЛГОРИТМ УЧЕТА ДИНАМИЧЕСКИХ ПОТЕРЬ СПП И РАСЧЕТА ТЕМПЕРАТУРЫ ПЕРЕХОДА

Максимальная температура перехода силового полупроводникового прибора  $T_{jmax}$  не должна превышать допустимое по справочным данным прибора значение во всех режимах работы преобразователя. Для расчета температуры перехода СПП следует определить величину мощности потерь в нем [8], (график – это зависимость чего-то от чего-то, что имеется ввиду – уточнить) причем при оценке потерь необходимо учитывать как статические, так и динамические потери. Расчет величины мощности потерь в ключах необходим также для оценки КПД преобразователей.

На рис. 1 в качестве примера представлена предлагаемая схема (алгоритм) расчета температуры перехода *IGBT*-транзистора.

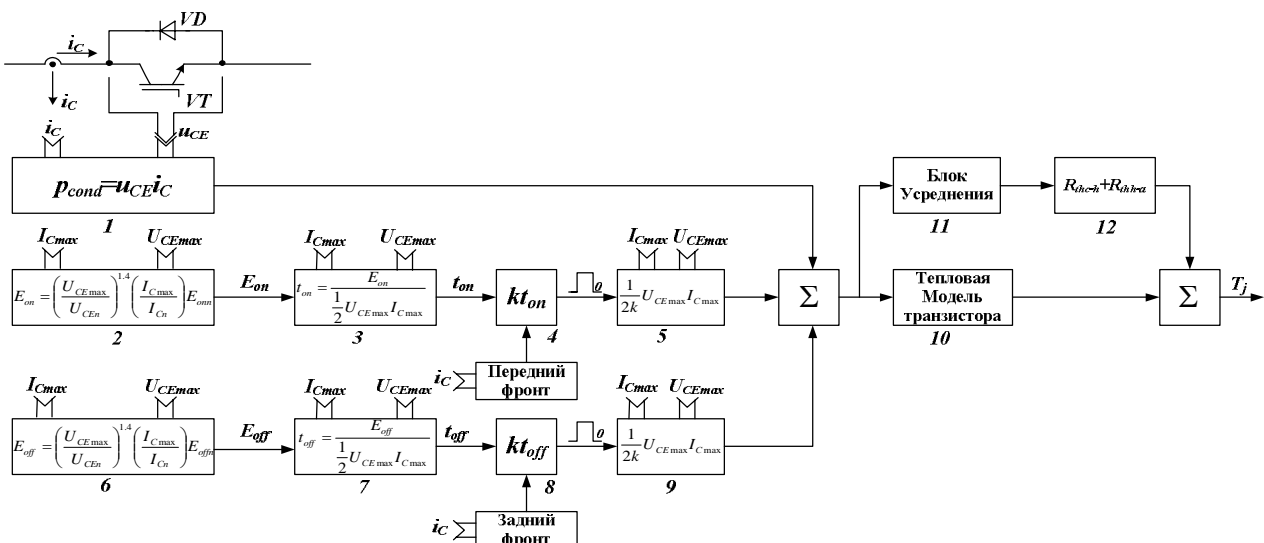


Рис. 1. Схема расчета температуры перехода

На первом этапе потерями в обратном диоде транзистора в схеме по рис. 1 пренебрегаем. Данное допущение справедливо, например, если расчет температуры перехода осуществляют для *IGBT*-транзистора в понижающем широтно-импульсном преобразователе. Суммарная мгновенная мощность потерь в транзисторе  $P_{VT\sum}$  определяется как сумма мгновенной мощности статических потерь проводимости  $P_{cond}$ , и мгновенной мощности динамических потерь при включении  $P_{sw(on)}$  и при выключении  $P_{sw(off)}$

$$P_{VT\sum} = P_{cond} + P_{SW(on)} + P_{SW(off)}. \quad (1)$$

Мгновенная мощность статических потерь определяется как произведение мгновенного тока коллектора  $i_C$  и мгновенного напряжения коллектор-эмиттер  $u_{CE}$  (блок 1 на рис. 1):

$$P_{cond} = i_C \cdot u_{CE}. \quad (2)$$

При определении потерь переключения необходимо учесть энергию потерь включения  $E_{on}$ , энергию потерь выключения  $E_{off}$  транзистора и энергию потерь выключения обратного диода транзистора  $E_{rr}$  (в схеме по рис. 1 полагаем ее равной нулю).

Энергия потерь при переключении транзистора может быть найдена путем перемножения величин мгновенного тока и напряжения прибора и численного интегрирования произведения в интервале коммутации [3]. Путем усреднения можно получить среднюю мощность потерь соответствующей составляющей и суммарную мощность коммутационных потерь в силовом ключе.

На рис. 2 приведены упрощенные кривые токов

и напряжений при переключении транзистора [9]. Как указывалось выше, стандартная *MatLab*-модель *IGBT*-транзистора учитывает только статические потери. Включение и выключение транзистора в такой традиционной модели происходят мгновенно (рис. 2, жирная линия). Оценка мощности динамических потерь в предлагаемой модели осуществляется путем формирования в момент включения  $t_0$  (выключения  $t_1$ ) транзистора прямоугольного импульса длительностью, равной времени включения (выключения) транзистора и амплитудой:

$$P_{SW} = \frac{1}{2} U_{CE\max} I_{C\max}, \quad (3)$$

где  $U_{CE\max}$  – максимальное напряжение коллектор–эмиттер транзистора при коммутации;  $I_{C\max}$  – максимальный ток коллектора при коммутации.

В блоках 2-5 схемы (см. рис. 1) формируется сигнал мгновенной мощности потерь при включении, а в блоках 6-9 – мгновенной мощности потерь при выключении. В блоке 2 (6) осуществляется пересчет энергии потерь при включении (выключении), которая является справочными данными конкретного транзистора [10], в зависимости от фактического коммутируемого тока и напряжения, при этом используются выражения, приводимые в описании программы *Semicel* [4]. В блоке 3 (7) определяется время включения (выключения) транзистора [9]. Если предположить, что коммутация в СПП не мгновенна, то справедливыми являются нежирные кривые на рис. 2. Из рис. 2 видно, что энергия потерь при переключении с хорошей степенью приближения определяется площадью треугольника:

$$E_{on(off)} = \frac{1}{2} U_{CE\max} I_{C\max} \cdot t_{on(off)}. \quad (4)$$

Из (4) получаем:

$$t_{on(off)} = \frac{E_{on(off)}}{\frac{1}{2} U_{CE\max} I_{C\max}}. \quad (5)$$

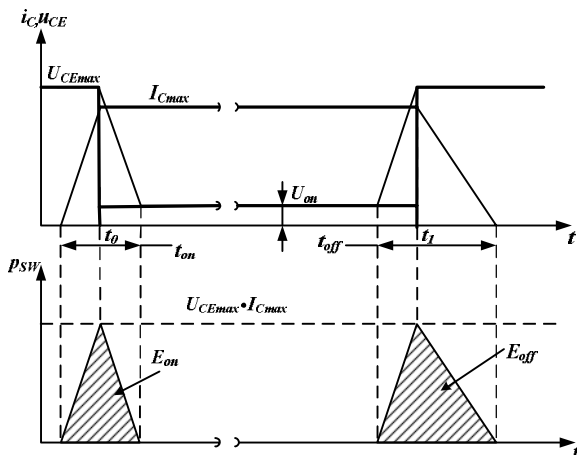


Рис. 2. Кривые токов и напряжений при переключении транзистора

Длительность интервала  $t_{on(off)}$  является базисной величиной для определения длительности импульса мощности динамических потерь транзистора в *MatLab*-модели (блоки 3, 7).

В блоках 4, 5 (8, 9) формируется импульс заданной длительности и амплитуды, соответствующий мощности динамических потерь при переключении. Коэффициент  $k$  вводится для согласования длительности импульса мощности (порядка 1 мкс) и шага интегрирования дискретной *MatLab*-модели. Сигнал мгновенной суммарной мощности потерь поступает на вход блока тепловой модели транзистора (10), представленной на рис. 3.

Параметры звенев тепловой модели, – тепловые сопротивления  $R_{thj-cn}$  и постоянные времени  $\tau_n$ , приводятся в справочных данных на прибор. При этом емкость конденсаторов (см. рис. 3) определяется по соотношению:

$$C_n = \frac{\tau_n}{R_{thj-cn}}. \quad (6)$$

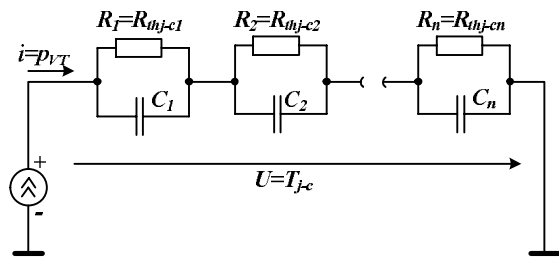


Рис. 3. Тепловая модель транзистора

В блоке 10 осуществляется расчет превышения температуры переход–корпус  $T_{j-c}$ :

$$T_{j-c} = p_{VT} \sum_1^n R_{thj-cn} \left( 1 - e^{-\frac{t}{\tau_n}} \right). \quad (7)$$

В блоках 11, 12 определяются превышение температуры корпус–охладитель  $T_{c-s}$  и превышение температуры охладитель – окружающая среда  $T_{s-a}$  путем умножения средней суммарной мощности потерь на тепловые сопротивления корпус–охладитель  $R_{thc-s}$  и охладитель – окружающая среда  $R_{ths-a}$  соответственно.

В итоге температура перехода транзистора равна:

$$T_j = T_{j-c} + T_{c-s} + T_{s-a} + T_a, \quad (8)$$

где  $T_a$  – температура окружающей среды, которая обычно принимается равной 40° С.

#### MATLAB-МОДЕЛЬ IGBT-ТРАНЗИСТОРА

При приближенной оценке статических потерь в *IGBT*-транзисторе считают, что падение напряжения в ключе от протекания прямого тока не зависит от мгновенного тока прибора и равно величине напряжения насыщения  $U_{CE(sat)}$ . Часто точность такой оценки недостаточна для практических целей, поскольку величина  $U_{CE(sat)}$  зависит от величины мгновенного тока и напряжения затвора прибора. Для более точного представления зависимости падения напряжения на включенном *IGBT* от тока коллектора включенный прибор представляют его эквивалентной электрической схемой, получаемой в результате аппроксимации реальной вольт–амперной характеристики прибора двумя отрезками прямых так, как показано на рис. 4.

При такой аппроксимации используется зависимость:

$$U_{CE(sat)} = f(I_C) = U_{CE(TO)} + r_T \cdot I_C, \quad (9)$$

где  $U_{CE(TO)}$  – пороговое напряжение выходной (вольт-амперной) характеристики IGBT  $U_{CESat} = f(I_C)$ ;  $r_T$  – дифференциальное сопротивление.

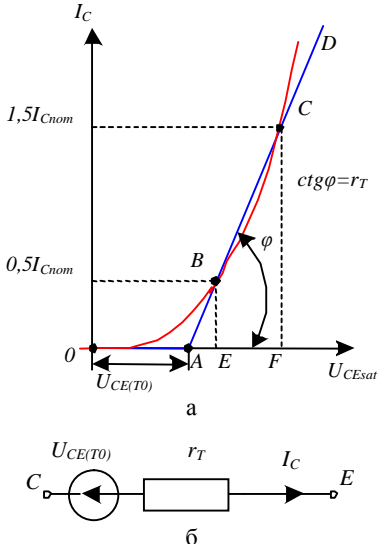


Рис. 4. Аппроксимация прямой ветви вольт-амперной характеристики IGBT (диода) двумя отрезками прямых (а); схема эквивалентного двухполюсника (б)

Величины  $U_{CE(TO)}$  и  $r_T$ , как правило, указывают в справочных данных на прибор. В противном случае они могут быть легко найдены путем решения системы из двух уравнений при подстановке в каждое уравнение при  $I_C=0,5I_{Cnom}$  и  $I_C=1,5I_{Cnom}$  соответствующих значений  $U_{CESat} = f(I_C)$ , найденных из графика функции  $I_C = f(U_{CESat})$  в справочных данных:

$$\begin{cases} U_{CESat}(0,5I_{Cnom}) = U_{CE(TO)} + r_T \cdot 0,5I_{Cnom}; \\ U_{CESat}(1,5I_{Cnom}) = U_{CE(TO)} + r_T \cdot 1,5I_{Cnom}. \end{cases} \quad (10)$$

Из (10) получаем:

$$\begin{cases} r_T = \frac{U_{CESat}(1,5I_{Cnom}) - U_{CESat}(0,5I_{Cnom})}{2}; \\ U_{CE(TO)} = \frac{U_{CESat}(0,5I_{Cnom}) - U_{CESat}(1,5I_{Cnom})}{2}. \end{cases} \quad (11)$$

Оценка статических потерь в обратных диодах IGBT производится аналогичным образом. Основанием для этого является то, что вид прямой ветви вольт-амперной характеристики диода подобен изображенному на рис. 4,а. Совпадают также и эквивалентные схемы приборов в виде двухполюсников. Значения пороговых напряжений и дифференциальных сопротивлений для диода и транзистора прибора близки между собой.

MatLab-модель IGBT-транзистора с обратным диодом, которая присутствует в библиотеке MatLab/Simulink, не учитывает пороговое напряжение вольт-амперной характеристики IGBT и не позволяет отдельно задать параметры вольт-амперной характеристики обратного диода, следовательно, не дает возможности адекватно оценить статические потери в транзисторе и обратном диоде. По этой причине MatLab-модель IGBT-транзистора с обратным диодом

была заменена присутствующими в библиотеке MatLab/Simulink моделью IGBT-транзистора без диода и моделью диода, что позволяет более точно учесть параметры вольт-амперной характеристики этих приборов.

#### МОДЕЛИРОВАНИЕ ТЕМПЕРАТУРЫ ПЕРЕХОДА В ПОНИЖАЮЩЕМ ШИРОТНО-ИМПУЛЬСНОМ ПРЕОБРАЗОВАТЕЛЕ

MatLab-модель понижающего широтно-импульсного преобразователя (ШИП) с системой определения температуры перехода в транзисторе приведена на рис. 5.

Виртуальный эксперимент с понижающим ШИП проводился при следующих параметрах силовой схемы:

- входное напряжение  $U_d = 600$  В;
- выходное напряжение  $U_{Load} = 540$  В;
- выходной ток  $I_{Load} = 100$  А;
- частота ШИМ  $f_{mod} = 5$  кГц.

Расчет температуры перехода выполнялся для IGBT модуля типа SEMITRANS SKM 300GAR123D производства фирмы Semikron с номинальным током  $I_{Cnom}$  300 А и предельным напряжением  $U_{CES}$  1200 В. На рис. 6. представлена MatLab-модель широтно-импульсного преобразователя постоянного напряжения с контролем мгновенного значения температуры перехода транзистора.

В блоке 1 рассчитывается мгновенная мощность статических потерь в транзисторе. В блоке 2 задаются мгновенные мощности динамических потерь в транзисторе путем формирования при переключении IGBT импульсов с длительностью, равной времени включения (выключения) транзистора и с амплитудой, равной максимальной коммутационной мощности. Коэффициент  $k$  в MatLab-модели принят равным 10 при интервале дискретизации 1 мкс. Выбранное сочетание параметров обеспечивает быстроту и точность определения температуры перехода транзистора. Статические и динамические потери в обратном диоде, шунтирующем IGBT в понижающем ШИП не учитываются, так как в данной схеме преобразователя обратный диод не работает. Сигнал суммарной мгновенной мощности потерь в транзисторе поступает на вход блока 3, – тепловую модель транзистора, - на выходе которого получаем превышение температуры переход-корпус  $T_{j-c}$ . В блоке 4 рассчитывается мгновенная мощность статических потерь в диоде, шунтирующем нагрузку. Это необходимо для адекватной оценки превышения температуры корпус-охладитель и охладитель-окружающая среда, так как в модуле типа SEMITRANS SKM 300GAR123D в одном корпусе находятся транзистор и два диода.

В блоке 5 рассчитываются превышения температуры корпус-охладитель  $T_{c-s}$  и охладитель-окружающая среда  $T_{s-a}$ . В блоке 6 задается температура окружающей среды.

На рис. 7 приведена осциллограмма температуры перехода транзистора.

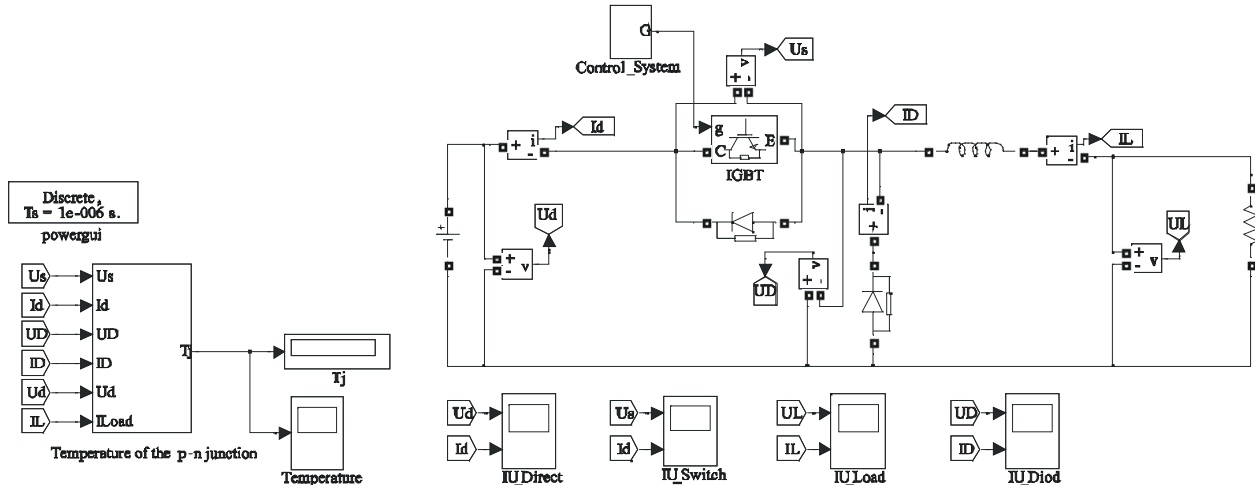


Рис. 5. MatLab-модель понижающего ШИП с системой расчета температуры перехода

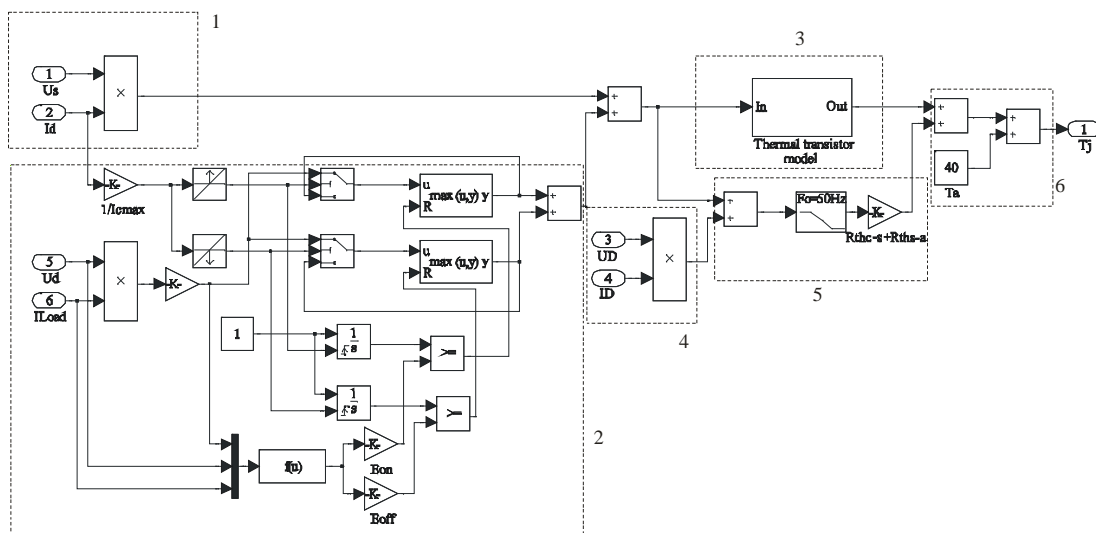


Рис. 6. MatLab-модель широтно-импульсного преобразователя постоянного напряжения с контролем мгновенного значения температуры перехода транзистора

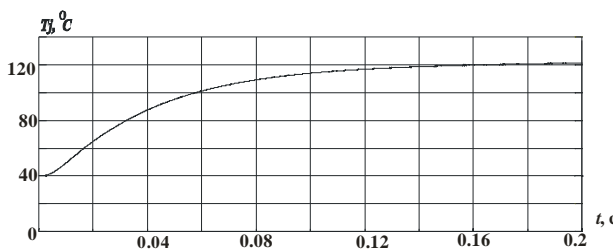


Рис.7. Осциллограмма температуры перехода транзистора

Результаты расчета мощности потерь в транзисторе и диоде и соответствующих температур (переходов транзистора  $T_{tr}$  и диода  $T_d$ , корпуса  $T_c$  и охладителя  $T_s$ ) практически совпадают результатами, полученными с помощью специализированного пакета программ для выбора типа приборов и определения характеристик охладителей фирмы Semikron – Semisel. Результаты, полученные в Semisel для модуля типа SEMITRANS SKM 300GAR123D при работе в понижающем ШИП с параметрами аналогичными MatLab-модели, представлены в табл. 1. Необходимо отметить, что в MatLab-модели не учитывались динамические потери в диоде и не оценивалась температура перехода диода (при необ-

ходимости подобную оценку можно выполнить, аналогично транзистору), поэтому температура перехода транзистора, полученная в MatLab-модели отличается от температуры в Semisel на 2°C. Незначительные отличия мощности статических и динамических потерь связаны с погрешностью вычислений.

Таблица 1  
Температура перехода и мощности потерь в модуле типа SEMITRANS SKM 300GAR123D

Параметры	Semisel	MatLab
$P_{cond\ tr}$	211 Вт	210 Вт
$P_{sw\ tr}$	134 Вт	134 Вт
$P_{tr}$	345 Вт	345 Вт
$P_{cond\ d}$	13 Вт	15 Вт
$P_{sw\ d}$	30 Вт	-
$P_d$	43 Вт	15 Вт
$P_{tot}$	389 Вт	360 Вт
$P_d$	43 Вт	15 Вт
$T_s$	83 °C	80 °C
$T_c$	97 °C	94 °C
$T_{tr}$	123 °C	121 °C
$T_d$	104 °C	-

Оценка температуры и мощности потерь в *Semisel* производится по зависимостям, представленным в *Semisel Help* [4].

Преимущество пакета *MatLab/Simulink* по сравнению с программой *Semisel* заключается в том, что с использованием *MatLab* возможно не только осуществить расчет температуры перехода, но и использовать при этом полученные результаты для определения КПД преобразователя, а также наблюдать переходной процесс нагрева транзисторно-диодного модуля для любого типа преобразователя в заданном режиме работы. Осциллограмма переходного процесса нагрева транзистора представлена на рис. 8. Необходимо отметить, что выбранное значение коэффициента  $k$  является оптимальным, так как при меньшем его значении время расчета температуры перехода существенно увеличивается, а при увеличении  $k$  от 10 до 100 и частоте ШИМ преобразователя 5 кГц погрешность расчета не превышает 3°C.

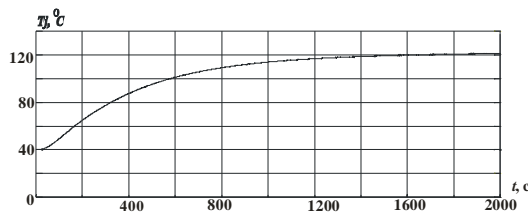


Рис. 8. Осциллограмма переходного процесса нагрева транзистора

При увеличении частоты ШИМ преобразователя коэффициент  $k$  необходимо уменьшить обратно пропорционально частоте.

#### МОДЕЛИРОВАНИЕ ТЕМПЕРАТУРЫ ПЕРЕХОДА В АВТОНОМНОМ ИНВЕРТОРЕ НАПРЯЖЕНИЯ

*MatLab*-модель автономного инвертора напряжения (АИН) с системой расчета температуры перехода в транзисторе приведена на рис. 9.

Виртуальный эксперимент проводился для АИН со следующими параметрами силовой схемы:

- входное напряжение  $U_d$  – 600 В;
- выходное линейное действующее напряжение  $U_{Load}$  – 354 В;
- выходная мощность  $P_{Load}$  – 32 кВт;
- выходной фазный действующий ток  $I_{Load}$  – 52 А;
- выходная частота  $f_{Load}$  – 50 Гц;
- частота ШИМ  $f_{mod}$  – 5 кГц.

При этом расчет температуры перехода производился для *IGBT* модуля типа *SEMITRANS SKM 300GB123D*

*300GB123D* производства фирмы *Semikron* с nominalным током  $I_{Cnom}$  300 А и предельным напряжением  $U_{CES}$  1200 В. На рис. 10. представлена *MatLab*-модель системы определения температуры перехода. В блоке 1 рассчитывается мгновенная мощность статических потерь в транзисторе. В блоке 2 задаются динамические потери в транзисторе, путем формирования импульсов при переключении *IGBT*, равных по длительности времени включения (выключения) транзистора и по амплитуде – максимальной коммутационной мощности. При расчете температуры перехода коэффициент  $k$  принят равным 10, а время дискретизации модели – 1 мкс.

Рассмотрим более подробно процесс переключения транзисторов в фазе *A* АИН. На рис. 11 приведена схема одного плеча АИН. Считаем, что ток  $i_A$  положителен ( $i_A > 0$ ). Транзисторы переключаются с высокой частотой. В исходном состоянии  $i_1 = i_A$ ,  $i_2 = 0$ . При запирании  $VT1$  и отпирании  $VT2$  ток  $i_A$  не изменяется по величине и переходит в  $VD2$ . Если не учитывать потери, обусловленные кумуляцией тока в  $VD2$ , то динамические потери энергии при этом переключении возникают только в  $VT1$  и их величина составляет  $E_{off}$ . При выключении  $VT2$  не проводит ток, проводит  $VD2$ . Следовательно, при включении  $VT1$  ток снова переходит в  $VT1$  и в нем выделяется энергии потерь  $E_{on}$ .

То есть, при положительном токе фазы динамические потери присутствуют только в транзисторе  $VT1$ , а при отрицательном только в транзисторе  $VT2$ . Эта особенность работы схемы АИН при определении температуры перехода учитывается в блоке 3. Сигнал суммарной мгновенной мощности потерь в транзисторе поступает на вход блока 4, – тепловую модель транзистора, на выходе которого получаем температуру переход-корпус  $T_{j-ctr}$ . В блоке 5 рассчитываются статические потери в обратном диоде *IGBT*-транзистора. Динамическими потерями в диоде пренебрегаем. Сигнал мгновенной мощности статических потерь в транзисторе поступает на вход блока 6, – тепловую модель обратного диода *IGBT*-транзистора, – на выходе которого получаем превышение температуры переход-корпус  $T_{j-cd}$ . В блоке 7 рассчитываются превышения температуры корпус-охладитель и охладитель-окружающая среда, при этом в модуле типа *SEMITRANS SKM 300GB123D* в одном корпусе находятся два транзистора, а на одном охладителе – шесть транзисторов. В блоке 8 учитывается температура окружающей среды.

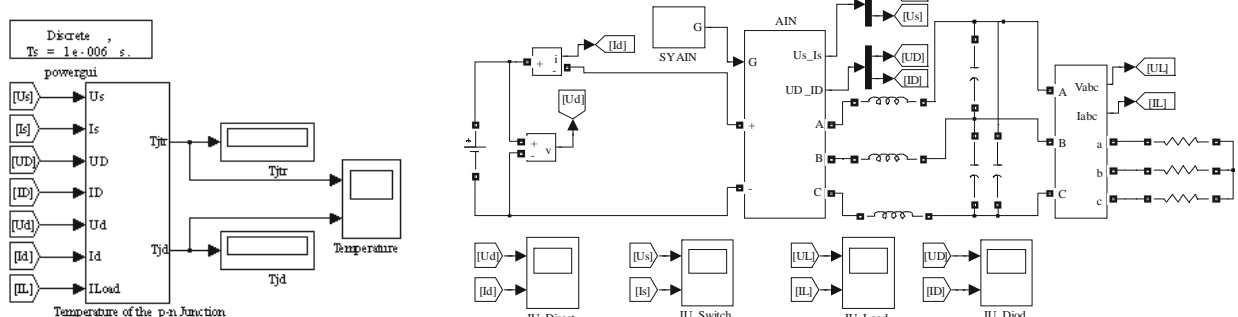


Рис. 9. *MatLab*-модель автономного инвертора напряжения с системой расчета температуры перехода

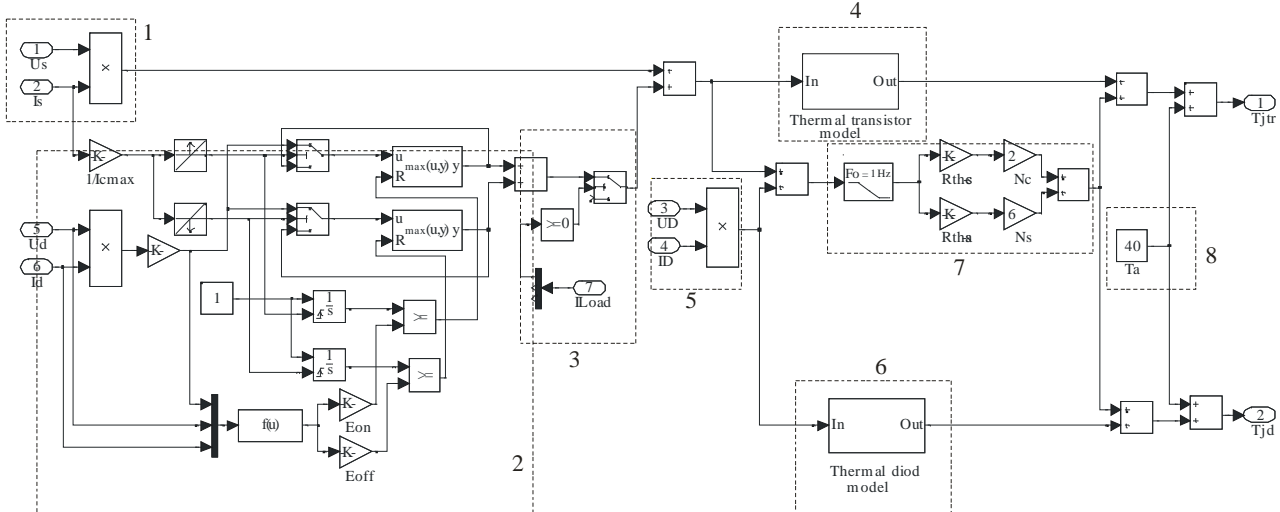


Рис. 10. MatLab-модель автономного инвертора напряжения с контролем температуры перехода транзистора

На рис. 12 приведены осциллограммы температуры перехода транзистора и обратного диода.

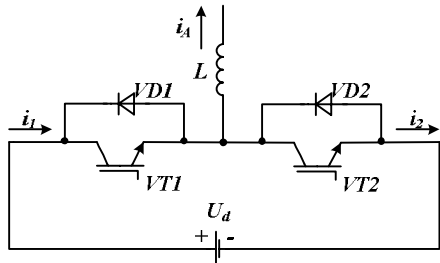


Рис. 11. Схема фазы А АИН

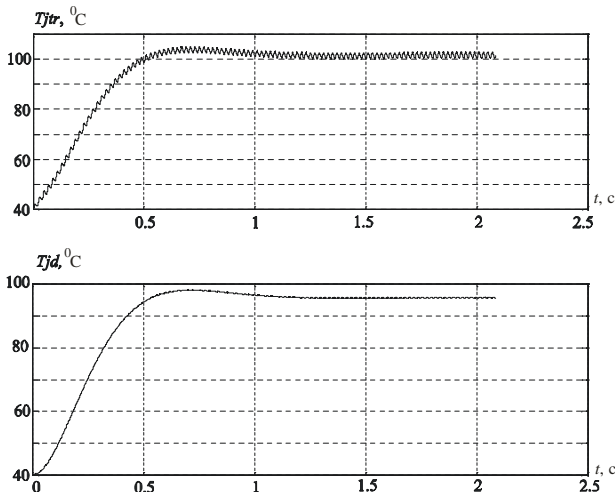


Рис. 12. Осциллограммы температуры перехода транзистора и обратного диода

Температура перехода и мощность потерь в транзисторе и диоде соответствуют результатам, полученным с помощью специализированного пакета программ для выбора типа приборов и определения характеристик охладителей фирмы Semikron – Semisel. Результаты, полученные в Semisel для модуля типа SEMITRANS SKM 300GB123D при работе в АИН с параметрами аналогичными MatLab-модели, представлены в табл. 2. Необходимо отметить, что в MatLab-модели не учитывались динамические потери в диоде

(при необходимости подобную оценку можно выполнить аналогично оценке потерь в транзисторе), поэтому температура перехода транзистора и диода, полученные в MatLab-модели отличаются от температуры в Semisel на 3°C и 8°C соответственно. Незначительно отличаются мощности статических и динамических потерь, что связано с погрешностью вычислений. На рис. 13. представлена осциллограмма переходного процесса нагрева транзистора и обратного диода.

Таблица 2  
Температура перехода и мощности потерь в модуле  
типа SEMITRANS SKM 300GB123D

Параметры	Semicel	MatLab
$P_{cond\ tr}$	41 Вт	46 Вт
$P_{sw\ tr}$	30 Вт	27 Вт
$P_{tr}$	71 Вт	75 Вт
$P_{cond\ d}$	3 Вт	3 Вт
$P_{sw\ d}$	8 Вт	-
$P_d$	11 Вт	3 Вт
$P_{tot}$	489 Вт	468 Вт
$T_s$	94 °C	92 °C
$T_c$	100 °C	98 °C
$T_{tr}$	105 °C	102 °C
$T_d$	102 °C	94 °C

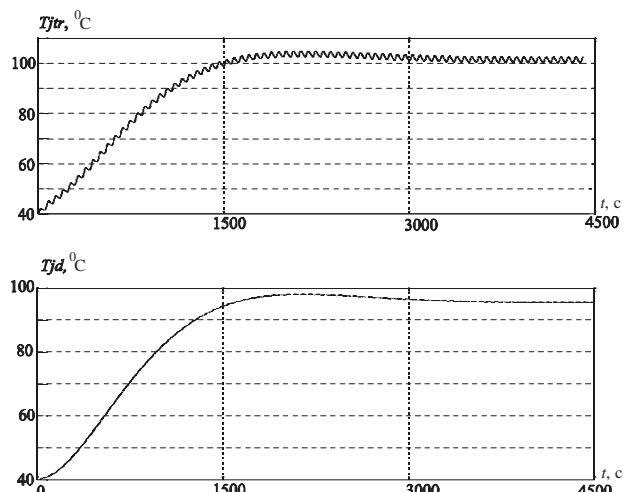


Рис. 13. Осциллограмма переходного процесса нагрева транзистора и обратного диода в АИН

## ВЫВОДЫ

1. Разработан метод определения суммарной мгновенной мощности статических и динамических потерь и мгновенных значений температур переходов транзисторно-диодных модулей при дискретном моделировании полупроводниковых преобразователей с помощью пакета *MatLab/Simulink* в режимах, когда интервал дискретизации в модели близок к временам включения и выключения транзистора.

2. Температуры переходов транзистора и диода, получаемые в *MatLab*-модели в установившемся режиме, практически совпадают с их значениями, рассчитанными с помощью программы *Semisel*.

3. Предложены *MatLab*-модели понижающего преобразователя постоянного напряжения и трехфазного автономного инвертора напряжения, в которых мгновенные значения температур переходов транзисторов и диодов, определяемых статическими и динамическими потерями в них, выводятся на виртуальный осциллограф и дисплей. Корректная работа указанных *MatLab*-моделей обеспечивается при изменяющихся токах нагрузки, входном напряжении и частоте модуляции.

4. Разработанные модели могут быть использованы для расчета мгновенного и среднего в заданном интервале времени значений КПД системы электроснабжения.

## СПИСОК ЛИТЕРАТУРЫ

1. Потемкин В.Г. Система MatLab, справочное пособие: М., МИФИ, 1988.
2. Дьяконов В., Круглов В. Математические пакеты расширения MatLab, специальный справочник. С-Пб., 2001.
3. Черных И.В. Моделирование электротехнических устройств в MATLAB, SimPowerSystems и Simulink. – М.: ДМК Пресс; СПб.: Питер, 2008. – 288 с.
4. SEMISEL Simulation. <http://www.semikron.com>.
5. M.H. Rashid, H.M. Rashid. SPICE for Power Electronics and Electric Power Second Edition - CRC Press, Taylor & Francis Group, the academic division of T&F Informa plc. Boca Raton London New York, 2006. – 530 p.
6. Колпаков А. И. Моделирование транзисторов IGBT с помощью PSPICE // Компоненты и технологии. – 2002. – № 840.
7. Недолужко И., Лебедев А. Методика определения параметров PSPICE моделей IGBT транзисторов // Силовая электроника. – 2005. – №2.
8. Ивахно В.В., Замаруев В.В., Малыренко Е.А., Стысло Б.А, Семивол И.В. Учебный лабораторный стенд для исследования характеристик IGBT-модулей // Технічна електродинаміка. – 2008. – Тематичний випуск "Силова електроніка та енергоефективність", ч. 4. – Київ: ІЕД НАН України, 2008. – С. 125-128.
9. Semikron Innovation + Service. Power Semiconductors 99. Semikron International. Germany.
10. Mohan N., Undeland T.M., Robbins W.P. Power Electronics. Converters, Application and Design. John Willy & Sons, INC, N.Y., 1995, 802 p.

**Bibliography (transliterated):** 1. Potemkin V.G. Sistema MatLab, spravochnoe posobie: M., MIFI, 1988. 2. D'yakonov V., Kruglov V. Matematicheskie pakety rasshireniya MatLab, special'nyj spravochnik. S-Pb., 2001. 3. Chernyh I.V. Modelirovaniye elekrotehnicheskikh ustroystv v MATLAB, SimPowerSystems i Simulink. - M.: DMK Press; SPb.: Piter, 2008. - 288 s. 4. SEMISEL Simulation. <http://www.semikron.com>. 5. M.H. Rashid, H.M. Rashid. SPICE for Power Electronics and Electric Power Second Edition - CRC Press, Taylor & Francis Group, the academic division of T&F Informa plc. Boca Raton London New York, 2006. - 530 r. 6. Kolpakov A. I. Modelirovaniye tranzistorov IGBT s pomoshch'yu PSPICE // Komponenty i tehnologii. - 2002. - № 840. 7. Nedoluzhko I., Lebedev A. Metodika opredeleniya parametrov PSPICE modelei IGBT tranzistorov // Silovaya elektronika. - 2005. - №2. 8. Ivahno V.V., Zamaruev V.V., Malyarenko E.A., Styslo B.A, Semivol I.V. Uchebnyj laboratornyj stend dlya issledovaniya harakteristik IGBT-modulej // Tehnichna elektrodinamika. - 2008. - Tematichniy vypusk "Silova elektronika ta energoefektivnist'", ch. 4. - Kiiv: IED NAN Ukrayini, 2008. - S. 125-128. 9. Semikron Innovation + Service. Power Semiconductors 99. Semikron International. Germany. 10. Mohan N., Undeland T.M., Robbins W.P. Power Electronics. Converters, Application and Design. John Willy & Sons, INC, N.Y., 1995, 802 p.

Поступила 23.03.2011

Жемеров Георгий Георгиевич, д.т.н., проф.

Ивахно Владимир Викторович, к.т.н., проф.

Ковалчук Ольга Игоревна, аспирант

Национальный технический университет

"Харьковский политехнический институт"

кафедра "Промышленная и биомедицинская электроника"

61002, Харьков, ул. Фрунзе 21

тел./факс: (057) 707-63-12

e-mail: zhemerov@online.kharkiv.net,

Olha.kov@mail.ru

Zhemerov G.G., Ivahno V.V., Kovalchuk O.I.

**Calculation of loss power and structure temperature of transistor-diode modules in converters computer simulation**

A calculation method for the total instant power of static and dynamic losses and transistor-diode modules transition temperature is considered under discrete simulation of semiconductor converters by means of MatLab (Simulink) in modes with a quantization interval in models close to the transistor turn-on and turn-off times.

**Key words – semiconductor device, transistor, loss power, static loss, dynamic loss, turn-on time, turn off-time, MatLab model, computer simulation, converter.**